

Отчет об эксперименте с временным фантомом испытания термоядерного устройства

В.Шкатов¹ (РФ), С.Кернбах² (ФРГ), М.Кринкер³ (США)

Аннотация—Проведен синхронный коллективный эксперимент в РФ, ФРГ и США по регистрации фантомного временного повтора процесса планетарного масштаба, произошедшего ночью 06.01.16 около 0.30 GMT. Некоторые сенсоры регистрировали эти события в период с 05.01.16 по 08.01.16. Предполагается, что может иметься корреляция с испытанием Н-бомбы, проведенной 06.01.16 в КНДР.

I. ВВЕДЕНИЕ

Данная работа является отчетом об эксперименте, задача которого заключалась в регистрации некоего глобального явления, имеющего тонко-полевой характер. Подобные эксперименты не являются принципиально новыми, например, широко известна регистрация глобальных эмоциональных событий в сети генераторов случайных чисел [10]. Однако новым моментом является тонко-полевая регистрация не-эмоциональных событий, имеющих глобальный геологический или техногенный характер.

В России, 12.03.13, специальным регистратором AUREOLE-001, по-видимому, впервые удалось записать тонко-полевой отклик (ТПО) мощного землетрясения в Японии, которое фактически произошло на сутки раньше, т.е. 11.3.13. При этом структура всплесков в мощном сигнале довольно точно повторяла всплески магнитуды реального явления [1]. Осмысление странного события было отложено до накопления достаточного числа подобных фактов. А так как серьезные землетрясения магнитудой 8-9 баллов весьма редки, то ждать пришлось дольше желаемого. Подземные испытания ядерных устройств сопровождаются локальным землетрясением с признаками техногенного происхождения. В случае наземных и высотных взрывов они обычно диагностируются многочисленными комплексами разного исполнения, в том числе и регистраторами характерных электромагнитных импульсов микросекундной длительности (ЭМИ), обычно сопровождающих высотные взрывы [2]. В варианте подземного

ядерного взрыва (ПЯВ) фактор ЭМИ существенно подавлен толщей земных пород и регистрацию приходится осуществлять в основном с помощью сейсмометрической аппаратуры. В ряде случаев в качестве дополнительного средства диагностики ПЯВ можно предложить использование приборных тонко-полевых технологий (ТППТ), которые в настоящее время создаются в ряде стран.

В России для этой цели можно применить, например, ТП-комплексы AUREOLE-001M1 и им подобные, к сожалению, имеющие пока уровень экспериментального образца [3]. В ФРГ разработаны и проходят испытания многоканальные системы регистрации так называемых 'неэлектромагнитных' сигналов на основе физических (кондуктометрия, потенциометрия, УФ спектроскопия, импеданс-томография) и биологических (микроорганизмы и фитосенсоры) сенсоров [4]. В США успешно экспериментируют с регистрацией полей торсионной природы датчиками на основе квадрупольных электрических систем разной конструкции [5].

Так как о времени проведения испытания Н-бомбы 06.01.16 в КНДР мировая общественность заранее не предупреждалась, то детально подготовиться к эксперименту по регистрации первичного ТПО не представлялось возможным. Поэтому авторы этой работы регистрировали отклик этого события, который произошел через сутки, т.е. 07.01.16. Несмотря на то, что использовались разные приборы и методика регистрации подобных явлений, были зафиксированы скоррелированные изменения показаний приборов 07.01.16 около 0:30 GMT. Поскольку сенсоры в ФРГ (г. Штутгарт) работают непрерывно в режиме онлайн измерений, был проанализирован период с 02.01.16 по 10.01.16. Как оказалось, с 05.01.16 по 08.01.16 происходили регулярные изменения тренда (в особенности 06.01.16), также в 0:30. Предполагается, что эти аномальные изменения могут быть связаны с взрывом Н-бомбы, проведенной 06.01.16 в КНДР, а приборы авторов регистрировали пре- и пост-фантомные отклики этого взрыва.

Эта работа имеет следующую структуру. В разделах II – IV описываются результаты, полученные в РФ, ФРГ и США, в разделах V и VI делаются предварительные выводы из полученных данных. Авторы подчеркивают, что данная регистрация имеет экспериментальный характер, они не имели никакой предва-

¹GRG, Томск, v.shkatov@gmail.com

²Cybertronica Research, Research Center of Advanced Robotics and Environmental Science, Melunerstr. 40, 70569 Stuttgart, Germany, serge.kernbach@cybertronica.co

³ Ph.D., Visiting Research Scholar, Farmingdale University, SUNY, New York, USA, sevatronics@gmail.com.

рительной информации о тестах в КНДР и все данные анализировались постфактум. Более того, поскольку в первоначальной информации о взрыве указывалось приблизительное время 0:30 GMT (точное время 2:30 GMT появилось позже, после телевизионного сообщения в КНДР), приборные показания говорят о корреляции именно в 0:30 GMT. Авторы оставляют эти данные в той форме как они есть, без какой-либо поправки на позднюю информацию из СМИ.

II. РЕЗУЛЬТАТЫ ЭКСПЕРИМЕНТА В ТОМСКЕ (РОССИЙСКАЯ ФЕДЕРАЦИЯ)

На рис.1 показан блок преобразователя тонких полей (ТП) объекта в нормализованный электрический сигнал AUREOLE-001. Оптоэлектронные комплексы линейки AUREOLE-001 (001+, 001-2) в целом предназначены для длительного дистанционного мониторинга изменений в тонкой структуре разных объектов, без строгой количественной оценки их величины. Характерным признаком указанных приборов является использование лазерного луча в качестве удобного коммуникатора для информационной связи объекта с измерителем, расстояние между которыми ограничивается дальностью визуальной наводки лазерного пятна на объект в варианте прямой засветки. В случае использования фотографии объекта в качестве информационного посредника это расстояние практически ограничивается только технологией получения изображения удаленных объектов (например, космических).



Рис. 1. Основной модуль системы AUREOLE-001.

Чувствительным к ТП-полям элементом в AUREOLE-001 является микросхема 564ЛА7, представляющая собой четыре логические сборки 2-И-НЕ. На одной, двух, либо трех сборках может быть построен релаксационный генератор, частота которого зависит от нескольких внешних факторов: напряжения питания, температуры и структуры тонких полей. Если тщательно стабилизировать две первых величины, то можно эффективно измерять третью, нас интересующую. Частота,

выдаваемая датчиком, достаточно большая (4-5МГц), поэтому для согласования ее с простыми аналого-цифровыми преобразователями (АЦП) с выходом на ПК эту частоту целесообразно понижать каскадом гетеродинных преобразований. В AUREOLE-001M1 их три и, соответственно, три гетеродина. Все они кварцевые, к тому же помещены в активный термостат с точной стабилизацией температуры. Долговременная стабильность частоты гетеродинов при этом не хуже 10^{-8} .

Микроплата датчика окружена многослойным магнитным экраном из ленточной стали Э430, толщина ленты 80мкм. От электрической составляющей ЭМ-помех датчик защищен двойными стенками металлического термоса, соединенного с общим проводом электронного блока. Эти же стенки термоса, выполняющего и свои прямые функции – пассивного стабилизатора температуры, обеспечивают дополнительную экранировку датчика от локальных ТП-помех, например, полей от восходящих потоков воздуха при работе нагревательных приборов. Выходная переменная величина Прибора – частота настраивается обычно на начальный уровень 4-5 кГц внешним оперативным регулятором и далее, в процессе регистрации, может изменяться от тонко-полевых факторов в диапазоне 0,5-12 кГц, при амплитуде выходного сигнала 2,5 В. В качестве источника лазерного луча-коммуникатора использован модуль южнокорейского производства со встроенным стабилизатором тока. Луч входит в прибор сбоку, отражается от 45° зеркала, уходит в недра прибора, оборачивается в 90°-призме, информационно соединенной с датчиком, возвращается вверх, отражается от другого 45° зеркала и выходит наружу. Для удобства обращения с лучом на выходе прибора имеется еще одно, небольшое, поворотное зеркальце. Все указанные в тексте зеркала имеют поверхностное алюминиевое покрытие. Прибор имеет интегрированную систему контроля внутренних параметров с выходом на единственный светодиодный индикатор, который светится 'зеленым' при полной готовности к работе.

Электропитание прибора содержит многокаскадную цепочку: зарядное устройство с мягкой вольтамперной характеристикой, батарея щелочных аккумуляторов на 5,0 вольт, электронные преобразователи и стабилизаторы отдельных узлов, в особенности датчика. При этом некоторое время система продолжает работать при выключении сети. Недостатком системы гетеродинного преобразования частоты является наличие зеркальных полос пропускания, от которых приходится отстраиваться, выделяя одну из них. Достоинство системы – девиация частоты в процессе преобразования сохраняется. Приборы AUREOLE-001 эксплуатируются с 2005 года без существенных сбоев при постоянной локальной модернизации. С ними сделано много мониторинговых работ по объектам как близким, так и весьма удаленным, физическим объектам на Земле, ближнем и дальнем Космосе.

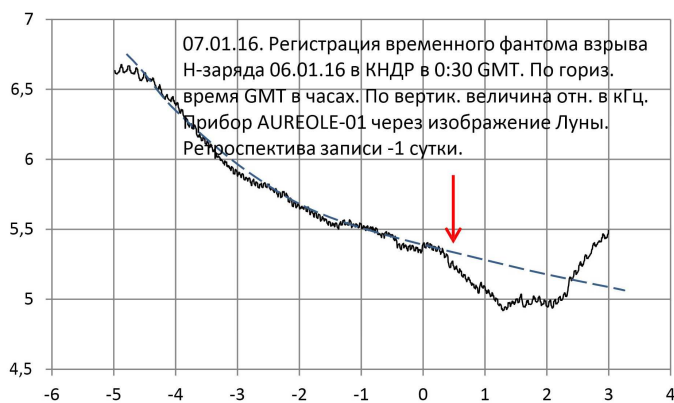


Рис. 2. Участок записи в окрестности перехода мирового времени GMT через ноль с 06.01.16 на 07.01.16. Известное из СМИ время подрыва заряда обозначено красной стрелкой. На фоне плавного снижения параметра F (кГц) виден крутой излом вниз, начало излома примерно соответствует положению стрелки. После 02 GMT начинается подъем кривой вверх.



Рис. 3. Тот же участок с помехами 'приборного' происхождения, от которых пришлось избавляться линейной фильтрацией ЛФ при $n = 5$. Так как период выборки 20 сек, то при длительности регистрации $8 \cdot 3600$ сек и $n=5$ искажения кривой тренда не заметны.

Опуская во многом стандартные методические процедуры, остановимся на использовании фото Луны как информационного посредника при диагностике земных объектов. Такой вариант был в свое время предложен 'априори', но практическая польза от него оказалась немалая и теперь приходится придумывать 'научную' аргументацию вдогонку. Одно из объяснений выглядит так. Известно, что суточное вращение Земли вносит в результаты ТП-измерений земных объектов циклическую зависимость, чаще полезную, но иногда вредную [6]. Это, если земные объекты измерять с Земли. Ситуация меняется, если мы промежуточную точку в измерительной цепочке размещаем на Луне, физически туда не летая, а всего лишь устанавливая перед измерителем AUREOLE-001M1 фото Луны. Для выбора установленной 'точки' на Луне используется лазерный зонд-коммуникатор (ЛЗК). Так как Луна обращена к Земле одной стороной, а Земля при виде

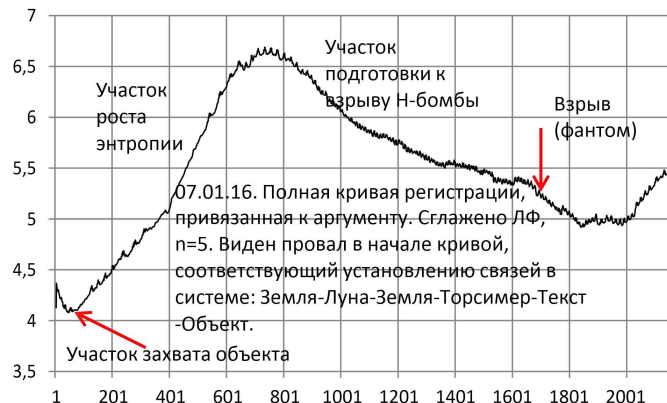


Рис. 4. Полная запись кривой мониторинга в функции N строки протокола регистрации, т.е. без привязки по времени. Видны еще два интересных участка: участок так называемого 'захвата' объекта (дуга энтропии вниз) и участок нарастания опасности (дуга энтропии вверх). После этого кривая пошла на понижение с точки 800 и дополнительно ускорила падение с точки 1700.

с Луны представляется большой 'точкой', то ситуация с вращениями выглядит намного проще. На рисунках 2, 3, 4 показаны результаты диагностики работ с термоядерным устройством (ТУ) в КНДР 06.01.16, проведенных на следующий день 07.01.16 с использованием описанного комплекса AUREOLE-001M1, на который дополнительно устанавливался текст-посредник.

III. РЕЗУЛЬТАТЫ ЭКСПЕРИМЕНТА В ШТУТГАРТЕ (ГЕРМАНИЯ)

Приборы по измерению dpH (дифференциальная потенциометрия) в Штутгарте является частью онлайн системы [4], [9], см. рис. 5, работающей в реальном времени и выводящей графики в интернет. Система работает в течении нескольких месяцев непрерывно. Эти измерительные приборы выводят как экспериментальные показатели, так и регистрируют множество вторичных данных локальной окружающей среды, методика оценки результата, в частности, заключается в исключении локальных факторов воздействия на основе множественных сенсорных данных.

Поскольку этот эксперимент заранее не планировался, явный информационный посредник в этих экспериментах отсутствовал. Данные анализировались через две недели (24.01.16) после эксперимента. После анализа данных для 07.01.16 и получения положительного результата, был проанализирован период с 02.01.2016 по 10.01.2016. Как оказалось, в периоде с 05.01.2016 по 08.01.2016 также присутствует аномальные изменения динамики около 0:30 GMT (соответствует СЕТ). Примечательно, что два независимых dpH прибора регистрируют эти изменения.

На рисунке 6 показаны параметры системы и окружающей среды, такие как температура всех термостатов, внешняя температура, питающее напряжение, уровень ЭМ помех в диапазоне между 50MHz и 3GHz,

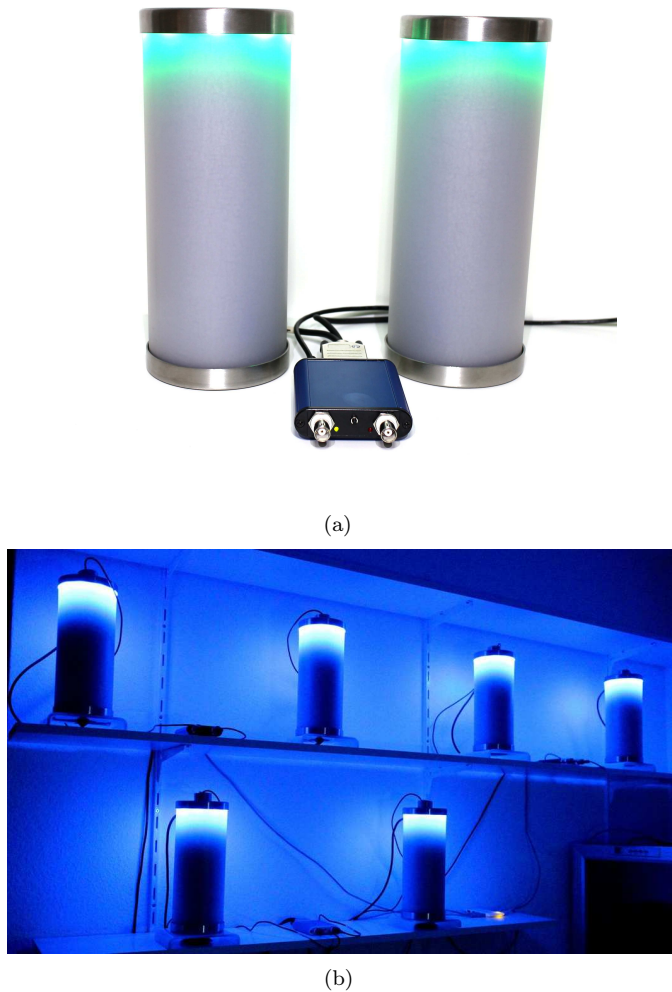


Рис. 5. (а) Внешний вид dpH прибора без электродов; (б) Пример экспериментальной установки.

и данные 3D акселерометера и 3D магнетометера. Параллельно работающий фитосенсор включает в себя дополнительные сенсоры окружающей среды. Динамика этих значений не демонстрирует существенных периодических аномалий с 05.01.2016 по 08.01.2016 (точка начала и конца измерений с 12:00 часов 04.01.2016 по 12:00 часов 08.01.2016), т.е. изменения dpH тренда не могут объясняться локальными причинами в Штутгартской лаборатории.

Данные dpH приборов с номерами ID=8 и ID=9 показаны на рисунке 7. Каждый раз брался интервал в 24 часа таким образом, чтобы ночное время находилось в центре рассматриваемого интервала. Регрессия строилась для точки 0:30. Как видно из графиков, эта точка полностью коррелирует с фактическим изменением тренда только 06.01.2016. В других графиках вариация составляет порядка ± 1 час. Более точная аппроксимация не производилась в виду приблизительной природы этих измерений. Данные на 08.01.2016 включают в себя другой эксперимент, который проводился около 16:00. Мы включили его в обзор, поскольку он тем не менее

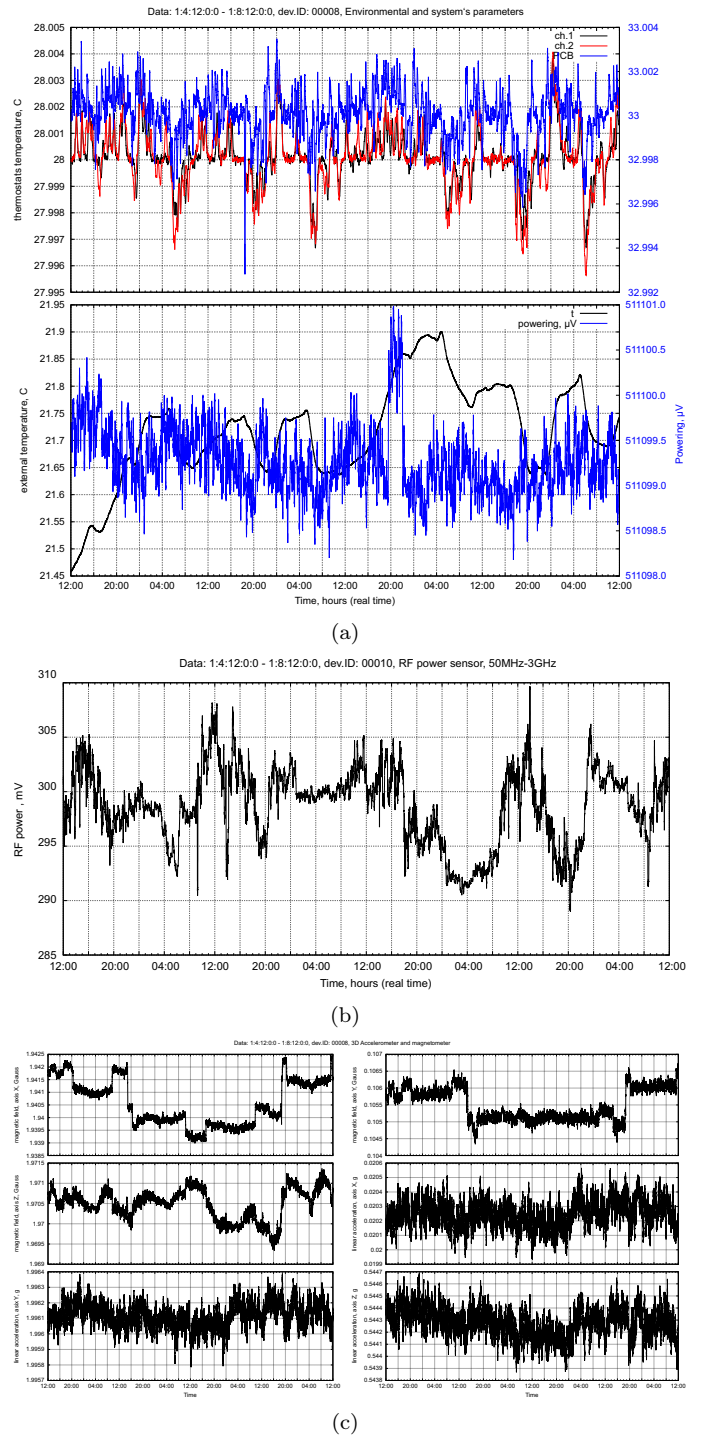


Рис. 6. Запись параметров окружающей среды с 12:00 часов 04.01.2016 по 12:00 часов 08.01.2016. (а) Динамика термостатов pH каналов и платы электронных компонентов, внешней температуры и опорного напряжения питания системы; (б) динамика электромагнитных помех в диапазоне от 50MHz до 3GHz; (в) Динамика 3D акселерометера и 3D магнетометера прибора ID=8. Существенные периодические аномалии этих параметров отсутствуют.

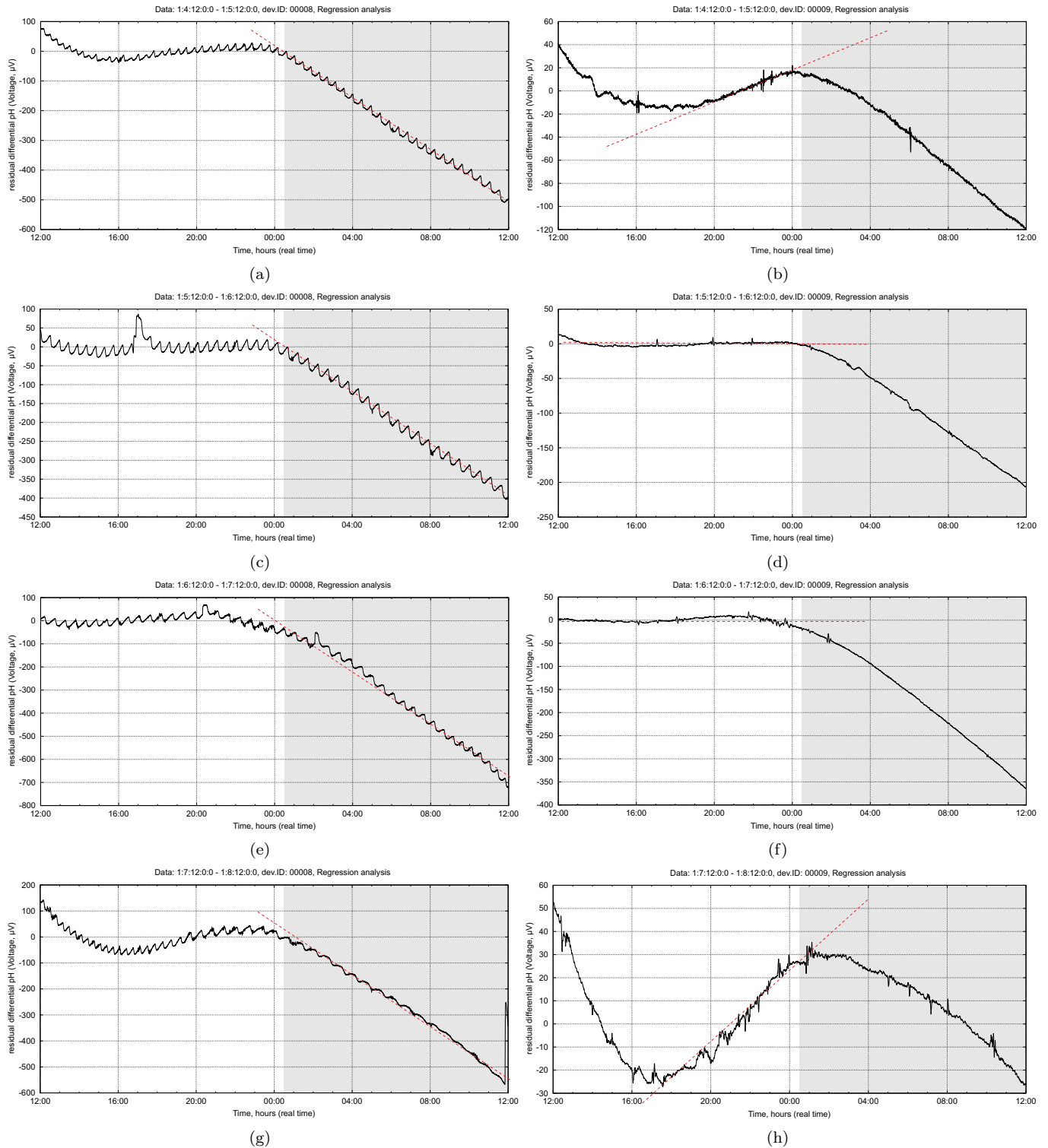


Рис. 7. Динамика dpH приборов 8 (слева, рисунки а,с,е,г) и 9 (справа, рисунки б,д,ф,х) с 12:00 часов 04.01.2016 по 12:00 часов 08.01.2016. Для регрессии использовались точки 0:30 каждого дня, резидуальная часть графика (разница между регрессионным значением и фактической динамикой) показана серым цветом. Данные на 08.01.2016 включают в себя другой эксперимент, который проводился около 16.00. Как видно из графиков, точка конца регрессии 0:30 полностью коррелирует с фактическим изменением тренда только 06.01.2016. В других графиках вариация составляет порядка ± 1 час.

показывает ночное изменение тренда около 0:00-1:00 СЕТ, как и все остальные графики. Данные за пределами 05.01.2016–08.01.2016 подобных изменений не демонстрируют. Время везде СЕТ, аналогичное GMT.

IV. РЕЗУЛЬТАТЫ ЭКСПЕРИМЕНТА, ЗАПИСАННЫЕ В НЬЮ-ЙОРКЕ (США)

Запись в Нью-Йорке производилась с помощью двух средств: аппарата SEVA – измерителя интегрального полевого вращения в полосе до 250 МГц [7], и двухэлектродной водной системы с электродами, имеющими различный цвет изоляции. Ранее было отмечено, что такая система чувствительна к информационным воздействиям, реагируя на них изменением ЭДС [8, с.20]. По сути, эта ситуация идеологически близка к обычной системе с двойным электрическим слоем, часто применяемой для регистрации инфо-воздействий [4,11], но с некоторым отличием. Два одинаковых металлических электрода в воде вследствие структурной симметрии должны давать дифференциальную ЭДС, близкую к нулю, а привнесение цвета (причем, цвета на изоляцию (!) проводов) делает систему асимметричной и чувствительной к инфо- воздействиям. Привязка системы к объекту осуществлялась с помощью фотографии места испытаний, см. рис. 8 (фотография из интернета), подкладываемой под датчики.



Рис. 8. Снимок из Космоса места проведения испытаний Н-заряда в КНДР.

Для аппарата SEVA, см. рис. 9 и 10, нестационарное вращение (NSS=Non-Stationary Spinning) Полевого Гироскопа можно трактовать, как его 'кувыркание' в пространстве, т.к. при этом виде вращения происходит изменение направления его главной оси.



Рис. 9. Прибор SEVA-Integral во включенном состоянии.



Рис. 10. Прибор SEVA-Integral в составе измерительной системы. Изображение объекта под датчиком. Расстояние между изображением и датчиком – 50 мм.

Всплески NSS на графике, см. рис. 11 внизу, до 00:30 GMT могут говорить о росте энтропии системы датчик-образ объекта на этом участке. Уменьшение нестационарного вращения равносильно уменьшению энтропии, наблюдаемому после 00:30 GMT. Информация и энтропия связаны между собой весьма однозначно, т.е., если в систему записывается информация, то ее хаос/энтропия уменьшается. Обращает на себя внимание, что завершение снижения NSS через 644 с после отметки 00:30 на рис. 12 в точности соответствует моменту начала осцилляций ЭДС на рис. 11. Это напоминает колебания при ударном возбуждении контура, что позволяет предположить как наличие некоей упругости системы, так и присутствие контура положительной обратной связи между объектом и датчиком (например, ПТОС).

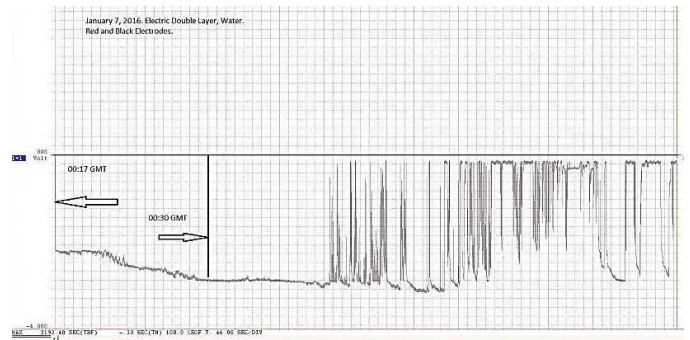


Рис. 11. Регистрация ЭДС датчика М.Кринкера. Правой стрелкой отмечен временной фантом момента подрыва Н-заряда. Ретроспектива минус одни сутки. Странные всплески колебаний во второй половине записи пока трудно объяснить с обычных позиций.

Что касается квазистационарного вращения поля QSS (Quasi-Stationary Spinning,- компоненты поля вращаются в одном направлении), то можно наблюдать его вариации перед отметкой 00:30 GMT, рис. 12. Оси NSS и QSS направлены противоположно, вследствие чего уменьшение нестационарности перед 00:30 GMT как раз и соответствует увеличению стационарного вращения в это время. Запись на рис. 12, особенно для QSS, показывает, что процесс воздействия информации от ТЯВ после 1:00 GMT не заканчивался, регистрация была прекращена оператором принудительно по обстоятельствам, не связанным с экспериментом.

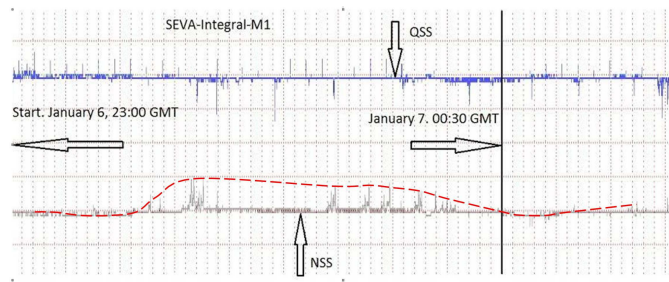


Рис. 12. Запись сигнала от временного фантома взрыва Н-заряда в КНДР прибором SEVA-Integral 06-07.01.16. Вверху канал стационарного вращения, внизу – нестационарного. Ручная обводка красным пунктиром сделана В.Т.Шкатовым в качестве попытки выявления характера зависимости. Как видно из рис.12, общий вид обводки похож на таковой для рис.4.

V. ПОДХОДЫ К АНАЛИЗУ РЕЗУЛЬТАТОВ

Результаты коллективного эксперимента по тонко-полевой регистрации временного последствия от ТЯВ в КНДР, полученные в трех, достаточно удаленных друг от друга, районах планеты, разной аппаратурой и разными операторами, представляют интерес для исследователей тонко-полевых взаимодействий в Природе. Интерес этот дополнительно усиливается с учетом некоторых особенностей принятых ТП-сигналов: их взаимной синхронностью с точностью до временного разрешения используемой аппаратуры и достаточно очевидной временной привязкой этой синхронности к фазе суточного вращения Земли. Глубина ретроспективы реального события в данном эксперименте получается равной одним суткам. Возникает, конечно, главный вопрос, что это за феномен? Предлагается обозначить его термином 'временной фантом (ВФ)', как временной спутник реального интенсивного процесса, причем по временной шкале землян он позиционируется к самому событию с дискретом-отставанием на одни сутки. Этакая фазовая синхронизация-автоподстройка. Однократен ли этот временной спутник-фантом? Может быть, он повторяется через двое, трое и т.д. суток в виде временной 'решетки'? Следующие исследования покажут.

Можно ли предполагать при этом существование предупреждающих ВФ, своего рода предвестников опасных событий? Ведь, если такие ТП-предвестники окажутся реальными и их приборная регистрация практически доступной, тогда это новые возможности, причем крайне перспективные для нашего 'безопасного' существования в масштабах Планеты. Подобные вопросы фундаментального плана вполне правомерны, как с традиционно научной, так и с более широкой естественно-исследовательской позиции. Но их предваряют обычные оперативно-тактические и инженерные вопросы.

1. Все ли в порядке у нас с используемой специфической аппаратурой? Грамотно ли она применяется в предложенных обстоятельствах?

2. Все ли нормально в разработанных методиках для оперативной работы?

3. Корректны ли способы обработки полученных первичных результатов?

4. Отработаны ли традиционные варианты хотя бы рабочего объяснения феномена?

5. Предложены ли другие возможности для объяснения?

Естественно, 'за кадром' всегда маячит вопрос – а зачем и кому это 'надо'? Нужно ли вообще заниматься такими вопросами, особенно на любительском уровне? Локальное 'дерево познания' далее может ветвиться примерно таким образом.

1. С этими проблемами не надо связываться ни профессионалам, ни, тем более, одиночкам-любителям, с каким угодно уровнем научно-практической подготовки. В этом как раз и состоит позиция 'борцов с лженаукой' КБЛ.

2. Наоборот, всем этим стоит заниматься поисковикам-разведчикам достаточно высокого класса хотя бы потому, что традиционная наука, особенно академическая, имеет обыкновение неоправданно долго засиживаться в спокойных 'научных' лагунах.

3. Если существующие гносеологические проблемы все-таки пытаться сдвинуть с 'насиженного' места, то подвижки необходимы не только в теории, но и в эксперименте. Особенно в последнем, так как в нем решается вопрос об истинности.

4. Если сконцентрироваться на эксперименте, то необходимы новые технические измерительные и другие средства высокой и сверхвысокой кондиции.

5. Если средства создаются, то нужны соответствующие им и объекту познания рабочие методики исследования.

6. При наличии средств и рабочих методик для специфических экспериментов в ТП-области нужны подготовленные операторы, понимающие свою вероятную (возможно, неизбежную?) роль в глобальных взаимодействиях.

7. Если в эксперименте что-то новое получается, то важно внимательно и бережно к этому относиться, чтобы 'не выплеснуть ребенка...', т.к. на первых порах он очень слаб и раним.

8. Если ничего не получается, то пересмотреть пункты 4-7 данного списка.

В рамках первого отчета об экспериментальной фиксации ВФ ТЯВ, произведенного в КНДР 06.01.16, с односуточным запаздыванием его коллективной регистрации, ответить на все вопросы невозможно. С другой стороны, этот эксперимент не первый в ТП-области, ему предшествовали многие другие, с другими объектами и приборами, с другими операторами. Накоплен значительный и, во многом, уникальный опыт, который можно использовать для экспертной оценки результатов.

В целом складывается мнение, что традиционные подходы к данному феномену с позиций случайных, либо системных, влияний разных помех энергетической

наполненности: тепловых, электромагнитных, гравитационных и др. не объясняют всей совокупности первичных результатов по описываемому эксперименту. Это при том, что использованные способы обработки полученных результатов достаточно корректны. Поэтому, представляется разумным привлечение к объяснению результатов по ВФ ТЯВ уже существующие представления о глобальном информационном поле (ГИП) Земли. Ведь откуда-то считывается информация об уже прошедшем редком событии? А значит, она туда в свое время записывалась. Автоматически? Что может служить физическим носителем такой информации? Какая 'операционная' система при этом связывает отдельные информационные звенья в работоспособный комплекс? Где в пространстве событий может локализоваться скрытая информация о конкретном процессе? Или она делокализована и хранится в режиме 'до востребования' везде, пока где-то и как-то не сложатся достаточные условия 'востребования'. Но даже в этом варианте остается вопрос о необходимом и достаточном наборе условий (своего рода имени файла и точности его набора) в экспериментах этого рода для того, чтобы 'puzzle' сложился и запрос информации сработал. Насколько достижим такой метод для 'рядового научного сотрудника', что немаловажно при желанном тиражировании работ? С подобных позиций можно подходить и к анализу пространственных фантомов (ПФ) реального объекта. Где они, эти ПФ-фантомы, 'живут' в позиции ожидания, не появляются ли они по 'предложению' экспериментатора рядом с реальным объектом и с той стороны от него, с какой требуется? Более подробный разбор результатов данного коллективного эксперимента может состояться несколько позже при появлении очередных фактов и их отработке. Авторы данной работы пока не делают акцент на финансовой стороне проблемы.

VI. ПРЕДВАРИТЕЛЬНЫЕ ВЫВОДЫ

1. Выполнена группа экспериментов в тонко-полевой (ТП) информационной среде, нацеленная на подтверждение существования дискретных временных образований, сопутствующих крупным разрушительным процессам на Земле.
2. Эксперименты выполнялись разными операторами, с несовпадающим лабораторным антуражем, в разных местах Планеты, но с одним предположительным общим источником возмущения – подземным термоядерным взрывом в КНДР 06.01.16, произведенным без предупреждения общественности.
3. Временная корреляция регистраций выявлена пока на качественном уровне.
4. Предложено рабочее название феномена – временной дискретный фантом с суточным отставанием (ВФ).
5. На основании экспериментальных данных можно предположить, что дискретные фантомы могут иметь сложную пре- и пост- событийную природу. Также

открыт вопрос регистрации этих явлений, как и с адресными признаками, так и без них.

6. В обсуждениях очерчены вопросы предстоящей отработки требований к дальнейшей объективизации подобной феноменологии.

Авторы работы благодарят друг друга за профессиональное и солидарное взаимодействие по отношению к предмету исследования.

VII. ЛИТЕРАТУРА

1. Горохов Е., Замша В., Кринкер М., Шкатов В. О вероятном влиянии внешнего сознания на структуру сигналов, получаемых с помощью приёмников тонких полей. В сб. докладов 15 Международной уфологической конференции 'Новое в уфологии и биоэнергоинформатике', 22-23 окт. 2011г., с.31-37.
2. В. М. Лобарев, Б. В. Замышляев, Е. П. Маслин, Б. А. Шиловцев. Физика ядерного взрыва: Действие взрыва. – М.: Наука. Физматлит, 1997. – Т. 2. – 256 с.
3. Шкатов В.Т., Шкатов П.В. Современные возможности тонкополевой диагностики объектов живой и неживой природы. В Материалах Международной Научной Конференции 'Торсионные поля и информационные взаимодействия - 2009'. Хоста, Сочи, 25-29 августа 2009г, под ред. В.Жигалова, стр.108-126.
4. С.Кернбах, О.Кернбах. О высокоточном измерении рН и dpH. ЖФНН, 2014, вып.5, т.2, стр. 83-104.
5. М. Krinker. Experiments with the Spinning Electric Vector Analyzer SEVA-Integral-M1. Angular Momentum of Objects and Events, Manifested in the Field Gyroscope. <http://vixra.org/abs/1501.0092>
6. В.Т.Шкатов. О восприимчивости некоторых материалов к суточной вариации фонового торсионного поля Земли в точке наблюдения. Мат-лы конф. 'БИЭТ-2000', 2001г, т.3, ч.1, стр.11-16.
7. М. Krinker. Spinning Electric Vector Analyzer, SEVA. Theory of Operation and Experimental Test. BioPhysical Method, International Symposium, pp.5-31, Moscow 2008 <http://vixra.org/abs/1501.0092>
8. М.Кринкер. Инфо-идуцированные фазовые переходы и уменьшение энтропии объекта. <http://www.unconv-science.org/n4/krinker>
9. S.Kernbach, O.Kernbach, Detection of ultraweak interactions by precision dpH approach (rus), IJUS, 9(3), 17-41, 2015
10. Т. Hirukawa, М. Ishikawa, Anomalous Fluctuation of RNG Data in Nebula: Summer Festival in Northeast Japan, The Parapsychological Association Convention, 389-297, 2004
11. S.Kernbach, Replication Attempt: Measuring Water Conductivity with Polarized Electrodes, J. of Scientific Exploration, Vol. 27, No. 1, pp. 69–105, 2013